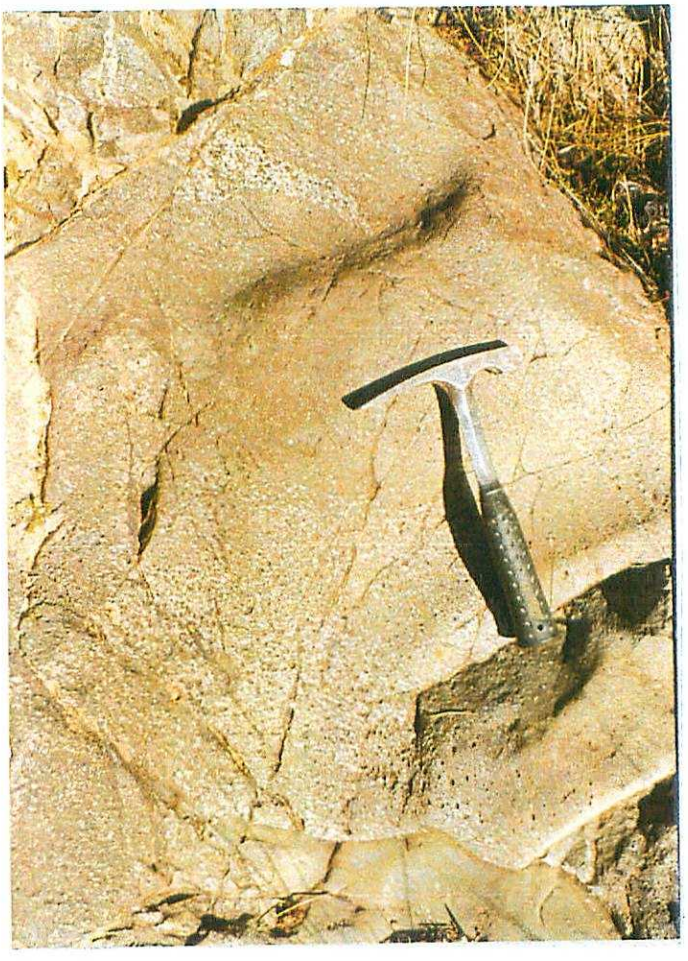


Foto 310. Fango-conglomerado del tramo basal de la F. Limolites y pizarras bandeadas (Pusa). 1 km aguas abajo de Horcajo de Los Montes en el Arroyo de Bohonal y Horcajo.



Foto 311. Fango-Conglomerados de cuarzo en el tramo basal de la F. Limolitas y pizarras bandeadas (Pusa). Se observan cantos blandos de naturaleza lutítico-grauváquica. Mismo afloramiento anterior

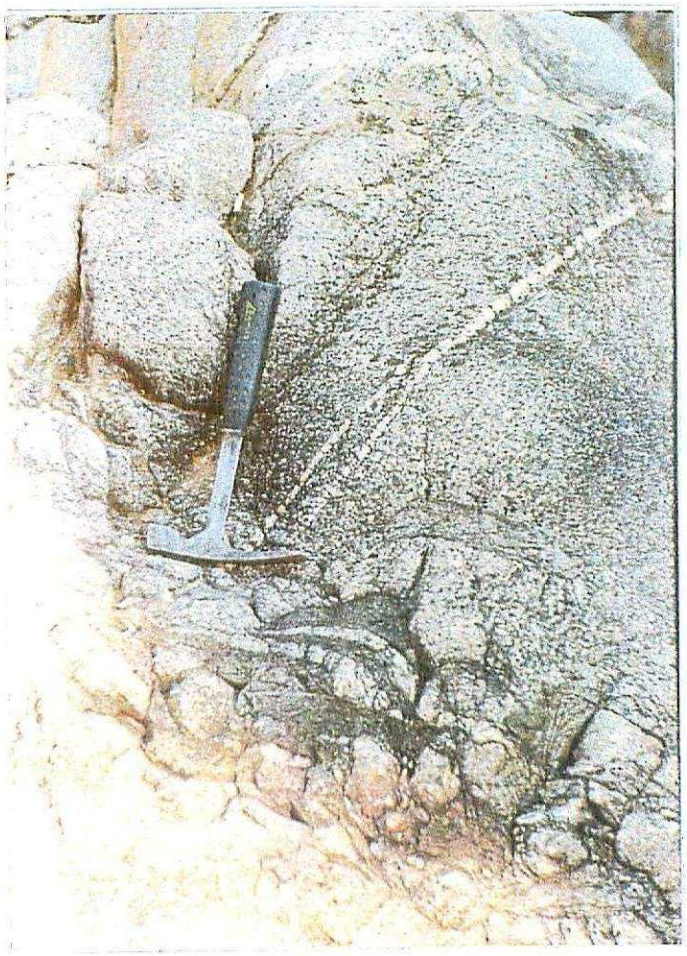


Foto 312. Fango-conglomerado de cuarzo del tramo basal de la F. Limolitas y pizarras bandeadas (Pusa). Misma localidad anterior



Foto 313. Fango-Conglomerados de cuarzo y "cantos blandos" de lutitas y grauvacas en la F. de limolitas y pizarras bandeadas (Pusa). Misma localidad anterior



Foto 314. Anticlinal en la F. Limolitas y pizarras bandeadas (Pusa). Misma localidad anterior

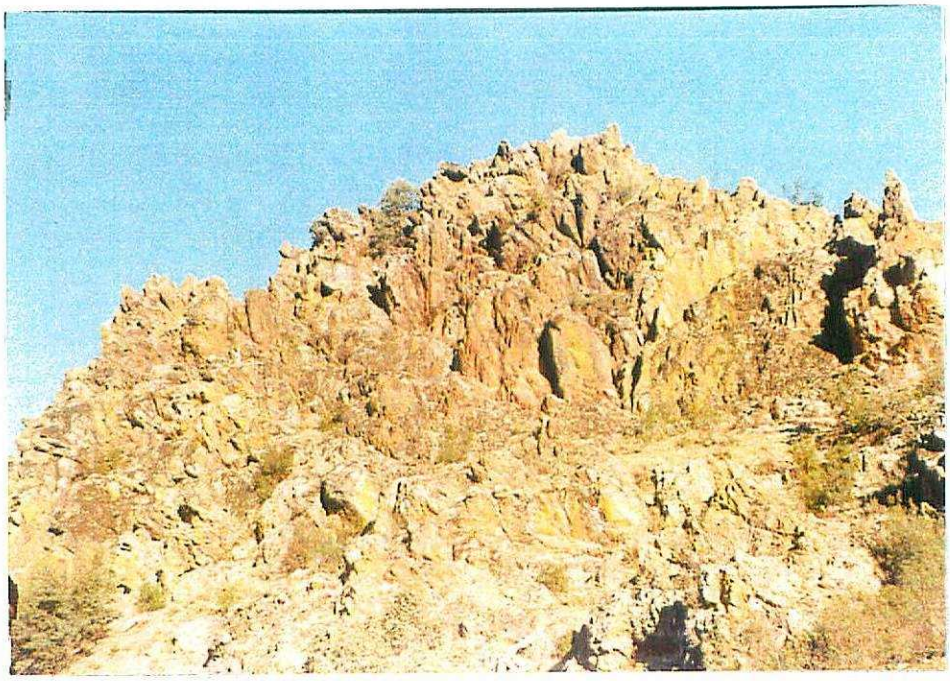


Foto 315. Sinclinal en la F. Limolitas y pizarras bandeadas (Pusa). Misma localidad anterior

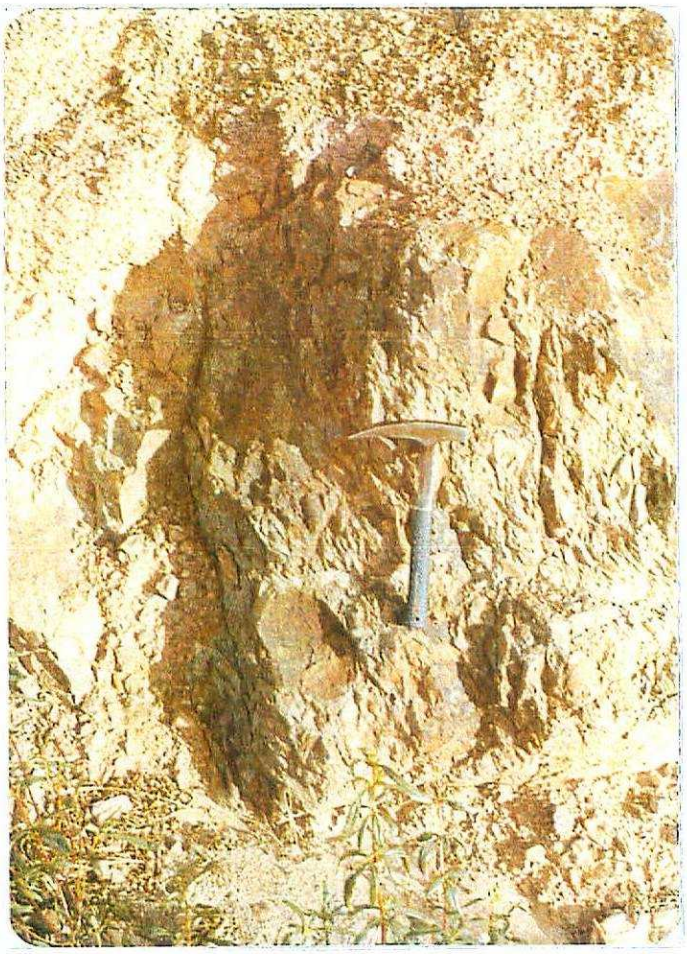


Foto 316. Conglomerado de "cantos blandos" en las Facies organizadas de pizarras y grauvacas (2). Anticlinal de Navalpino (flanco norte). Pista Bohonal-Villarta



Foto 317. Conglomerado de "cantos blandos" en las Facies organizadas de pizarras y grauvacas (2). Anticlinal de Navalpino (flanco norte). Pista bohonal-Villarta

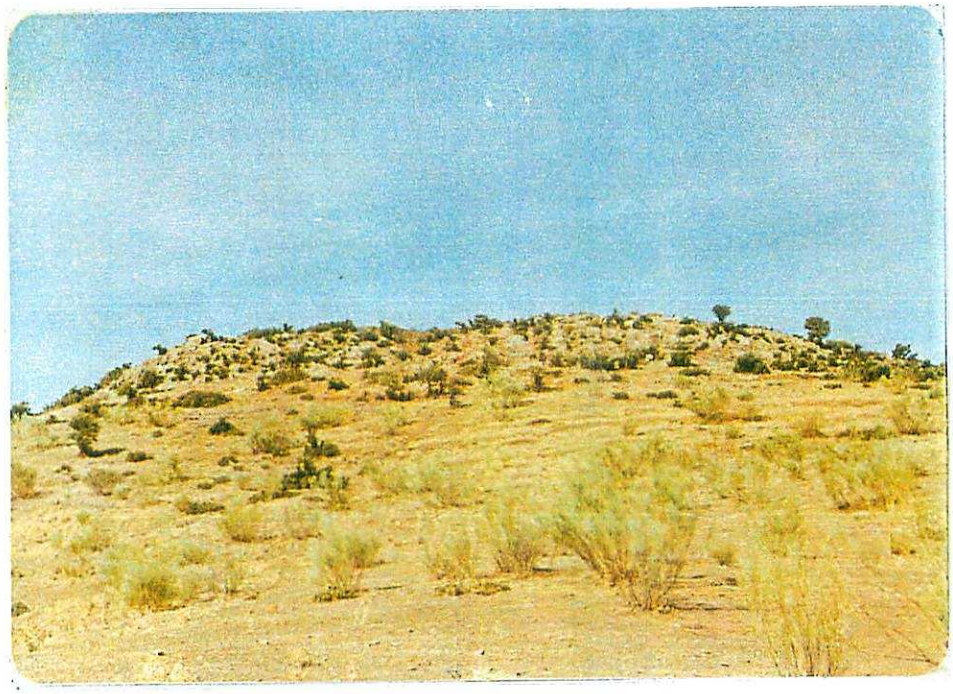


Foto 318. Resalte topográfico originado por los materiales carboantados de la F. Calizas de Villarta (8); Grupo Ibor vertiente del Castillejo en el flanco norte del Anticlinal de Navalpino

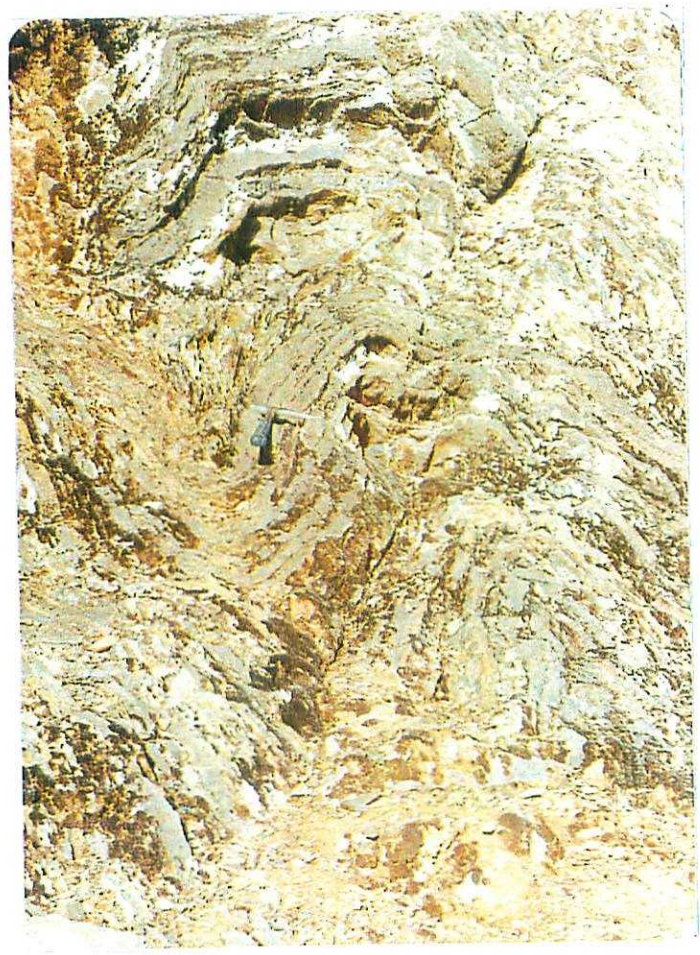


Foto 319. Pliegues en las capas inferiores de la F. Calizas de Villarta (8). Mismo afloramiento anterior

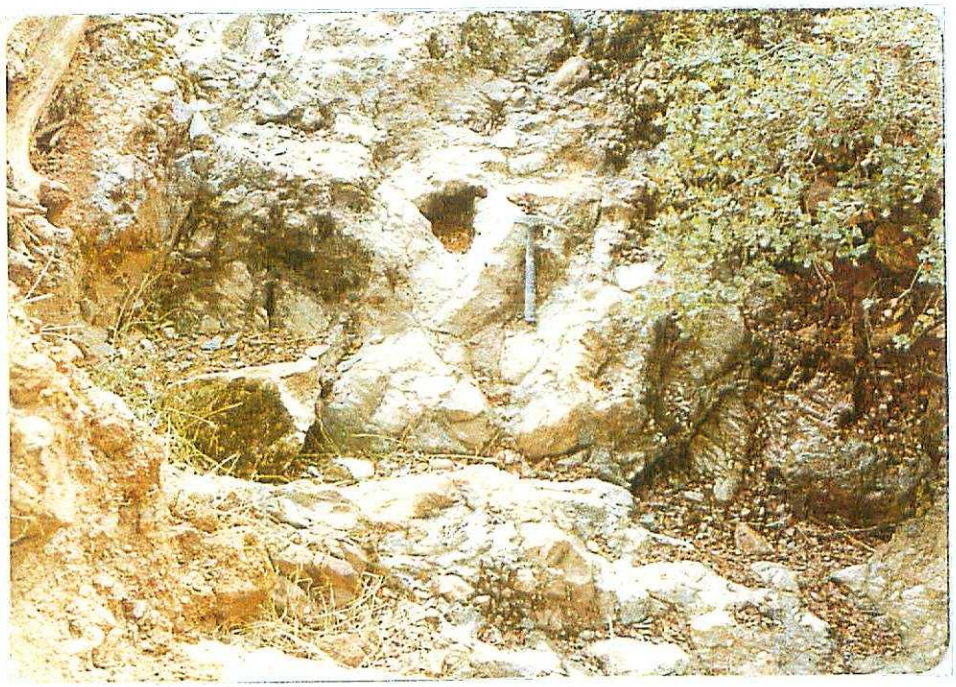


Foto 320. Muro de la Brecha de Navalpino (9). Nivel de Fuentes. Antiguo camino de Villarta a Navalpino

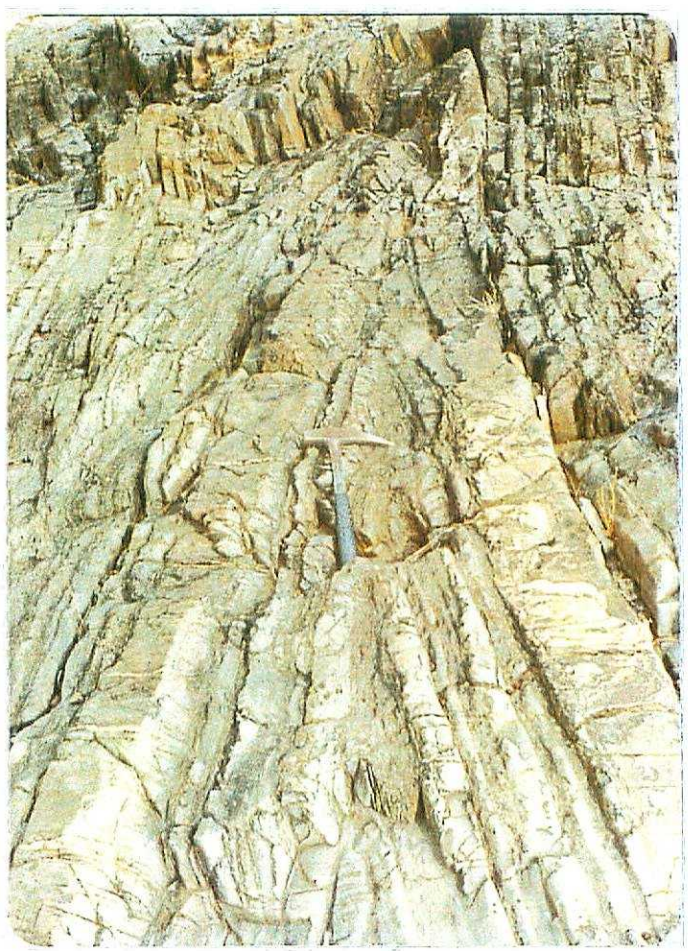


Foto 321. Pliegues tipo "Chevron" en las Facies organizadas de pizarras y grauvacas (2). Anticlinal de Navalpino. Arroyo de S. Marcos.



Foto 322. "Pinch and Swell" y "Boudines" en las Facies organizadas de pizarras y grauvacas (2). Arroyo de S. Marcos



Foto 323. Estructura replegada en lutitas intercaladas en las Facies organizadas de pizarras y grauvacas (2). Arroyo de S. Marcos



F 324. Pliegue plegado en las Facies organizadas de pizarras y grauvacas (2). Arroyo de S. Marcos

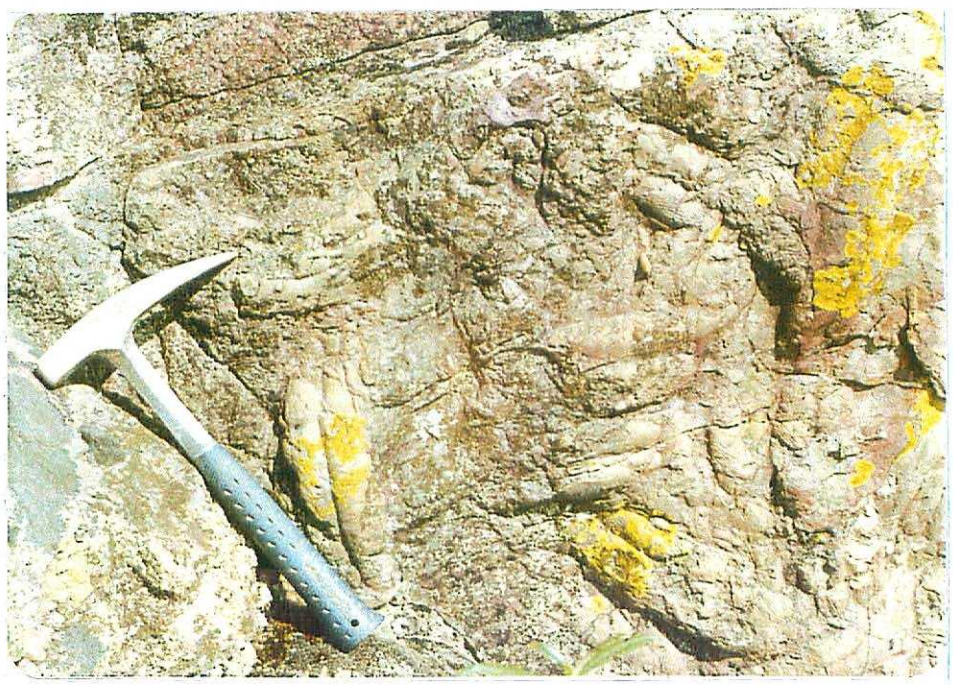


Foto 325. Crucianas de gran tamaño en la F. Areniscas, cuarcitas y limolitas (14). Serie Púrpura. Capas Intermedias. Al NE de Navalpino



Foto 326. Tubos de gusanos que dan un aspecto visual de conglomerados en el mismo afloramiento anterior

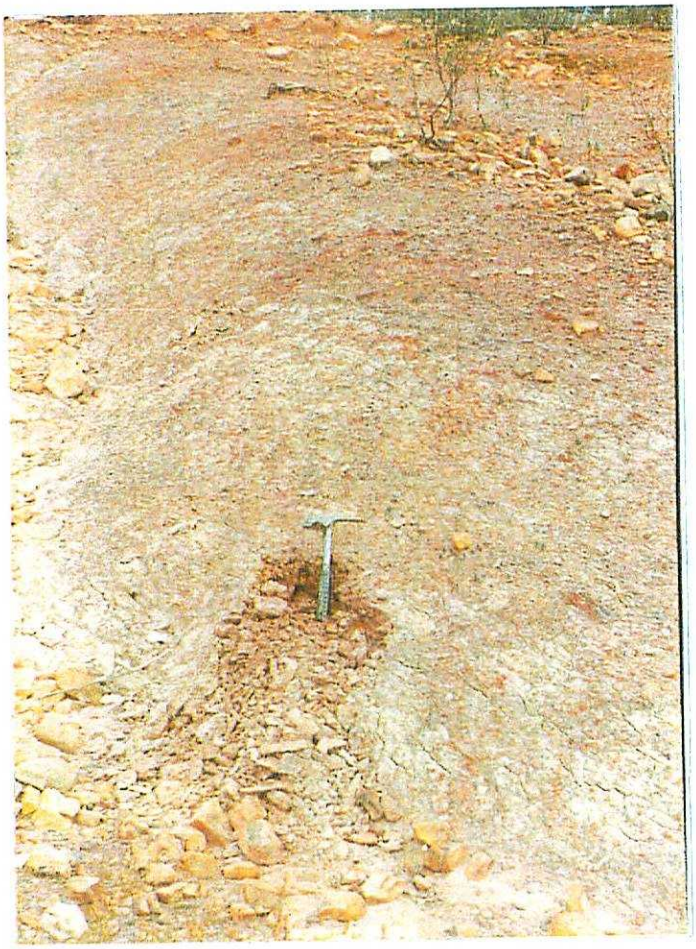


Foto 327. Pizarras con "Neseuretus". Llanvirn-Llandeilo. Están fuertemente alteradas a arcillas. Arroyo de los Terreros



Foto 328. Pliegue cilíndrico de 1ª Fase en la F. Pizarras y "Pelitas con fragmentos" (20). Caradoc-Llandovery Inf. Ctra. Horcajo-Alcoba Km 70

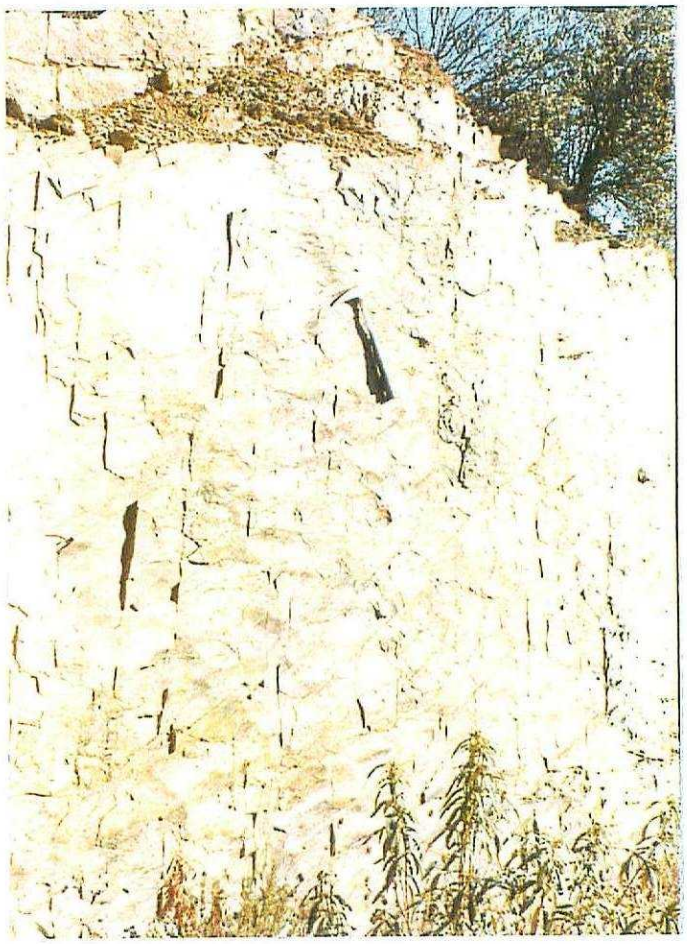


Foto 329. "Ripples" en la F. Pizarras y "Pelitas con fragmentos" (20). Caradoc-Llandovery inf. Ctra. Horcajo-Alcoba km. 68



Foto 330. Estructuras en "bolas concéntricas" debidas a alteraciones a favor del diaclasamiento en areniscas intercaladas en la F. Pizarras con "Neseuretus". Arroyo del Portezuelo



Foto 331. Repliegues en la F. Pizarras y "Pelitas con fragmentos" (20). Arroyo de Navalonguilla



Foto 332. Sills subvolcánicas (derecha) intercalados en la F. Pizarras y "Pelitas con fragmentos" (20). Arroyo de Los Navazos Portezuelo



Foto 333. Pliegues tipo chevron, de plano axial horizontal en la F. Pizarras negras ampelíticas (23) Silúrico. Ctra. Bohonal-Villarta

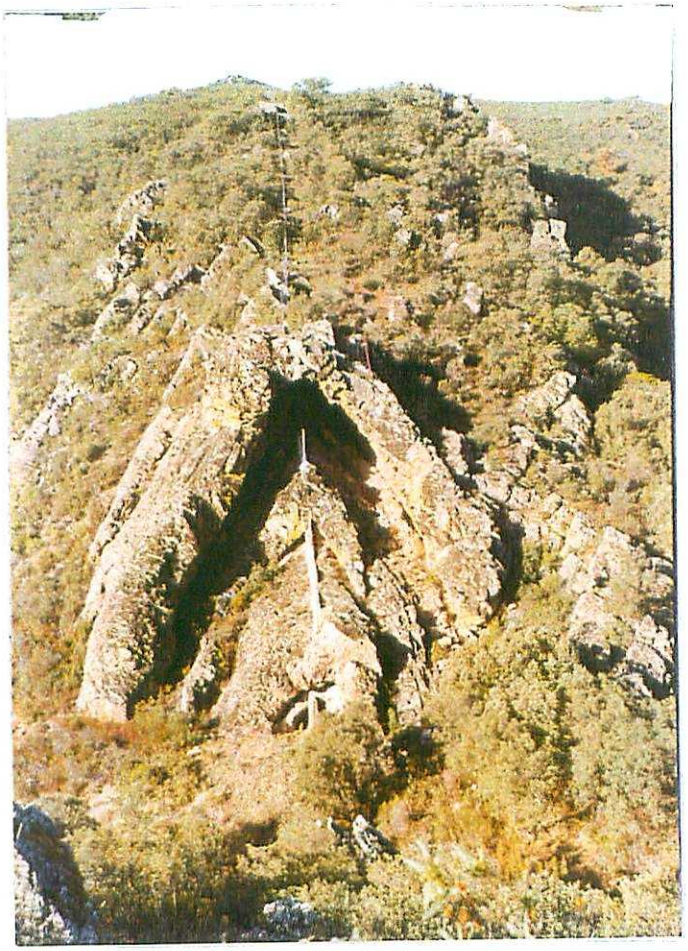


Foto 334. Pliegues de primera fase hercínica, tipo Chevron, en la F. Cuarcitas claras (22); Cuarcitas del Criadero (Llandovery) Arroyo de Navalonguilla

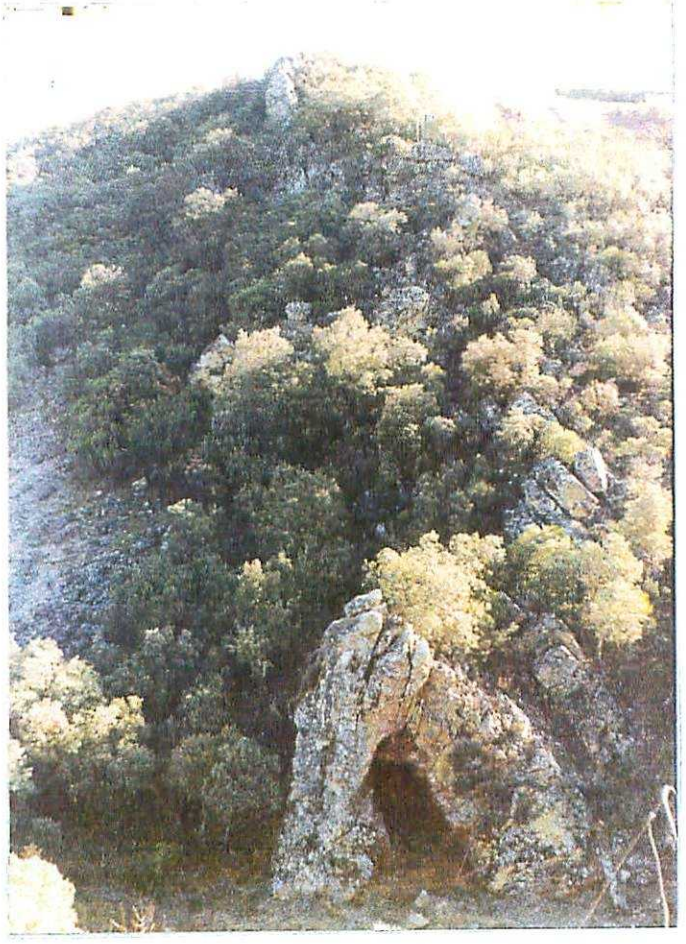


Foto 335. Prolongación hacia el E de la estructuras de la foto anterior

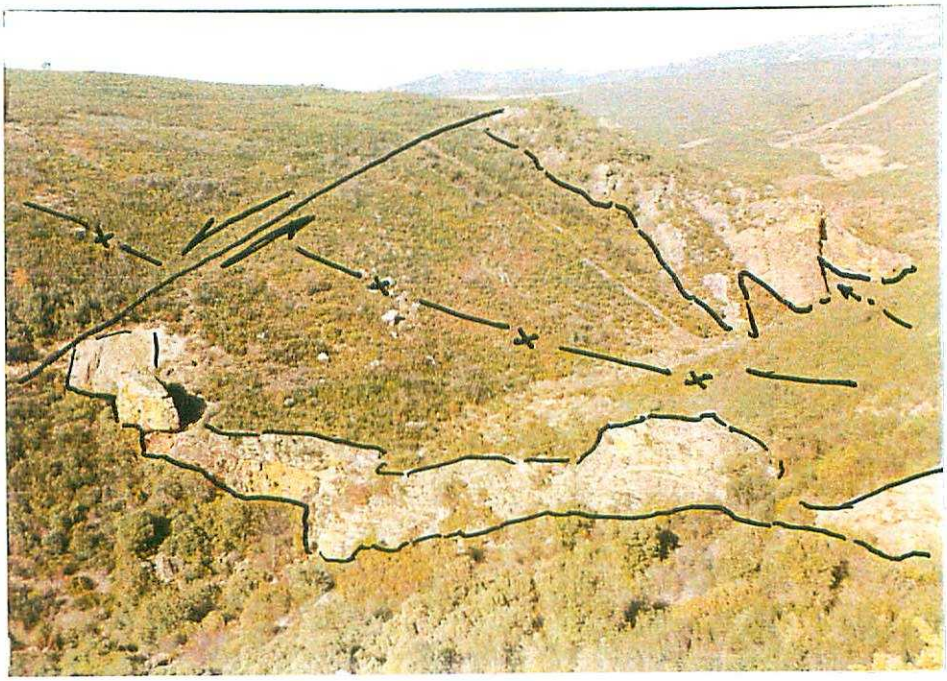


Foto 336. Aspecto del Sinclinal de Helechosa-Navalonguilla en el Arroyo de Navalonguilla. Flanco sur sencillo y flanco norte replegado.

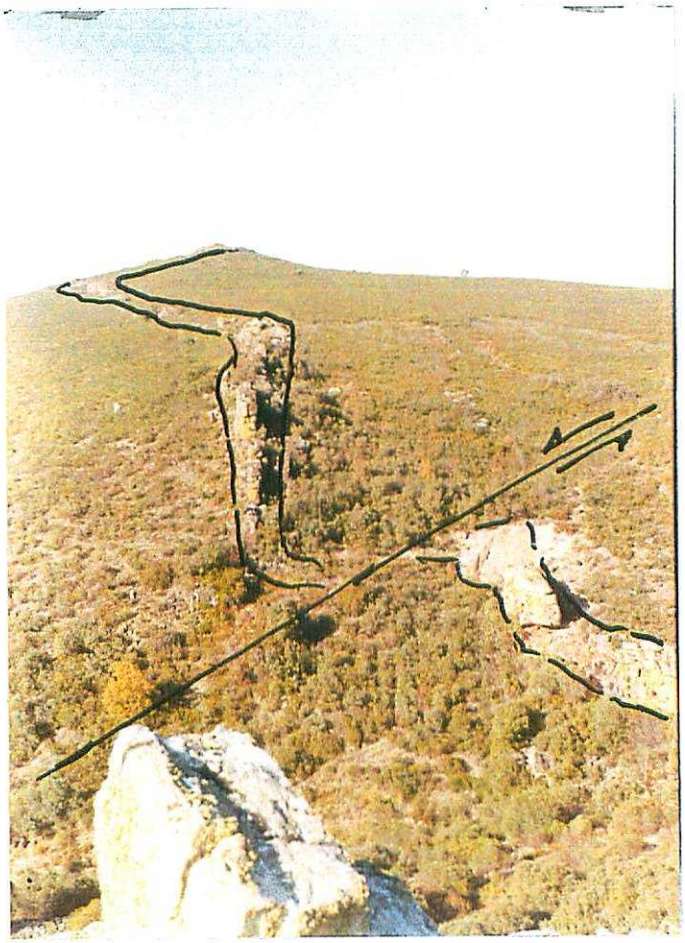


Foto 337. Detalle del flanco sur del Sinclinal de Helechosa-Navalonguilla. Fractura que desgarra los crestones. Al S de la foto anterior

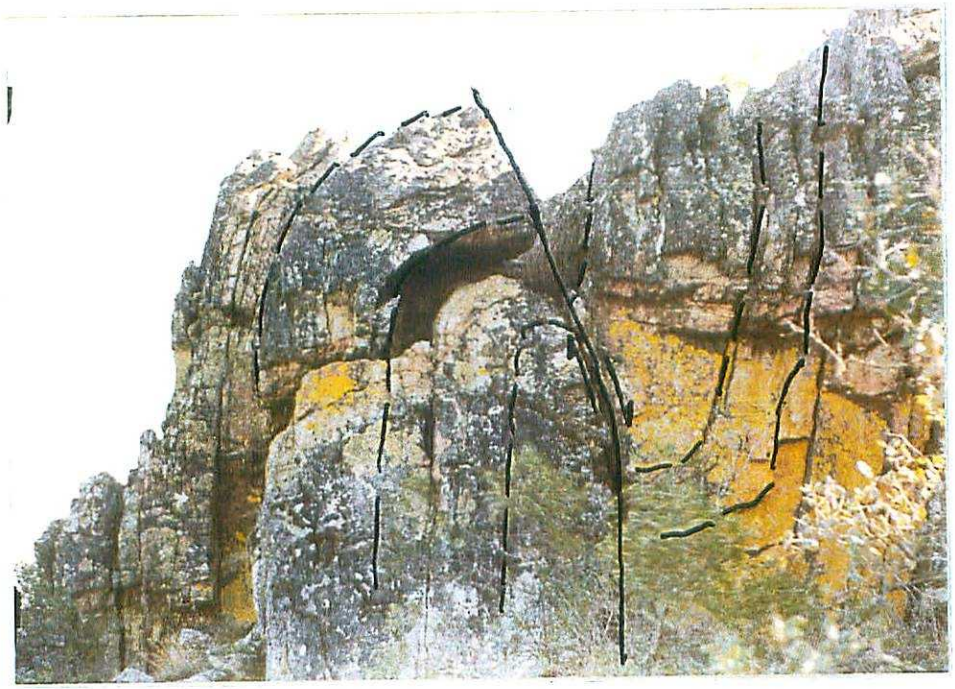


Foto 338. Pliegue de primera fase hercínica en la F. Cuarcitas claras (22). Cuarcitas del Criadero. Silúrico inferior

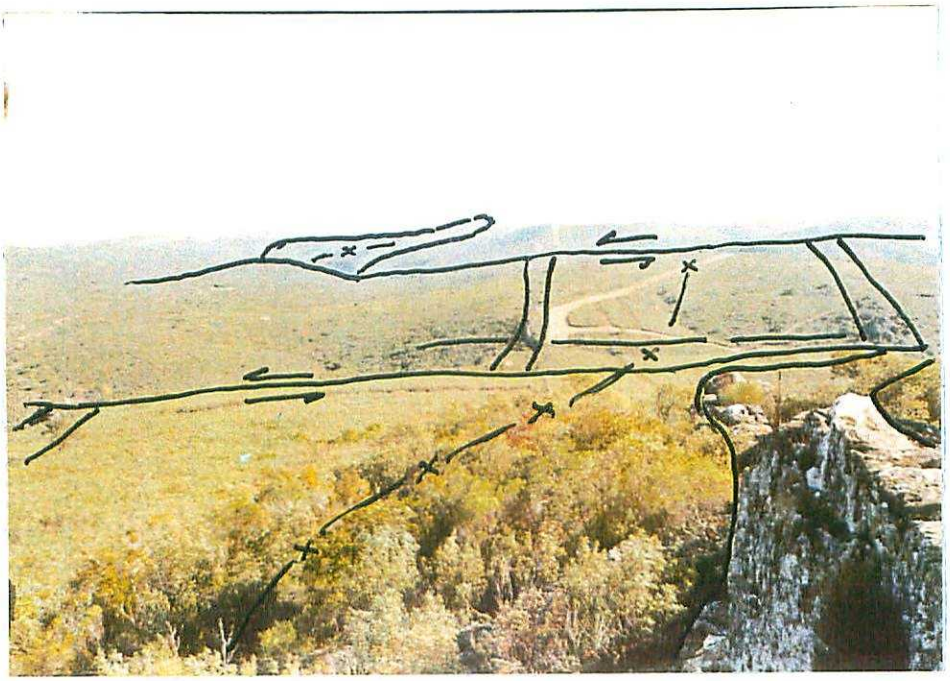


Foto 339. Panorámica hacia el E del Sinclinal de Helechosa-Navalonguilla desde el mismo afloramiento de la foto anterior

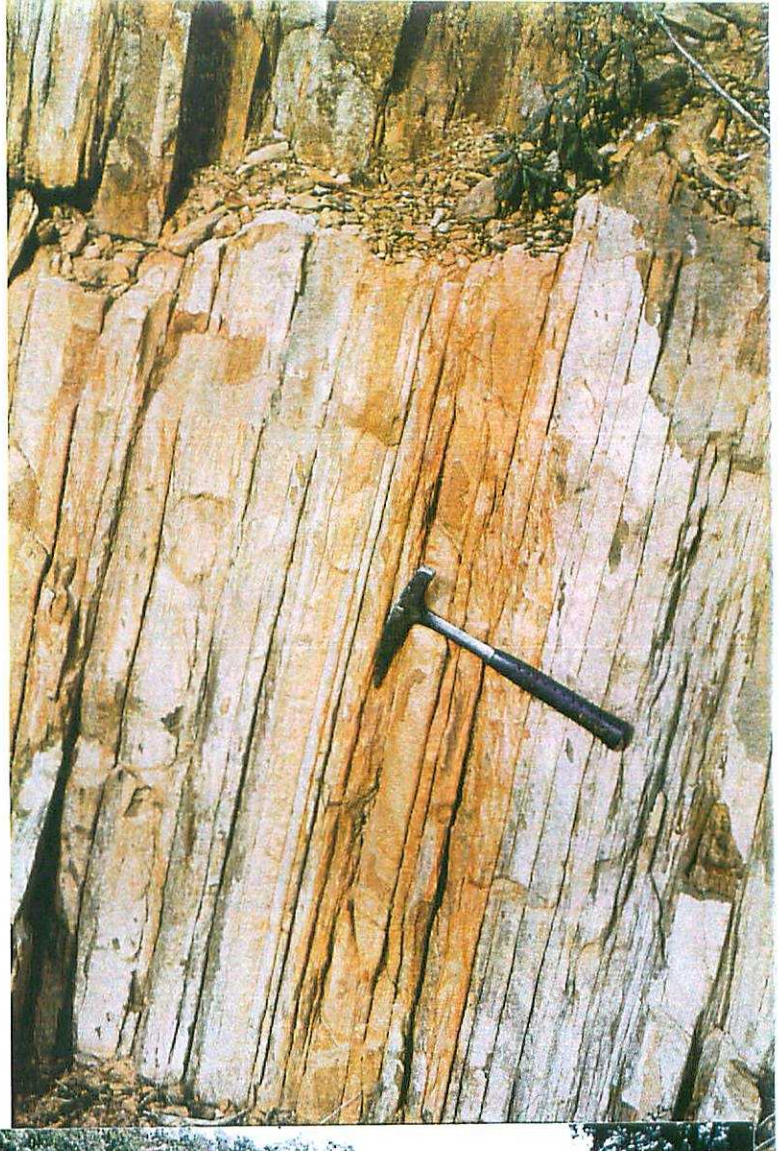


Foto 340. Serie de Parrales-Valdehornos (6). Secuencias grano-decrecientes (FV). Ctra. Navalpino-Bohonal



Foto 341. Pliegues vendienses, en la Serie de Parrales-Valdehornos (6), cortados transversalmente por la S_1 hercínica



Foto 342. Niveles turbidíticos entre los Conglomerados del Torilejo (7). Ctra. Navalpino-Bohonal

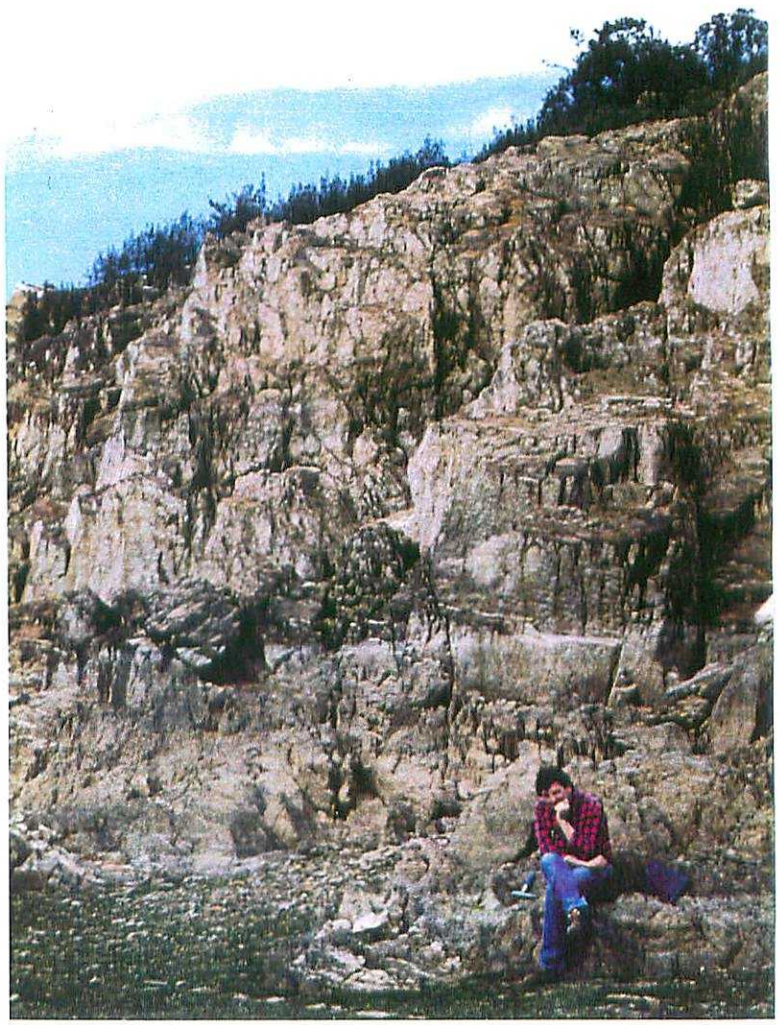


Foto 343. conglomerado del Torilejo (7). Brecha intra formacional con slumps y material removilizado. Mismo afloramiento anterior



Foto 344. Brecha de Navalpino; Nivel de Fuentes (9). Ctra. Navalpino-Bohonal

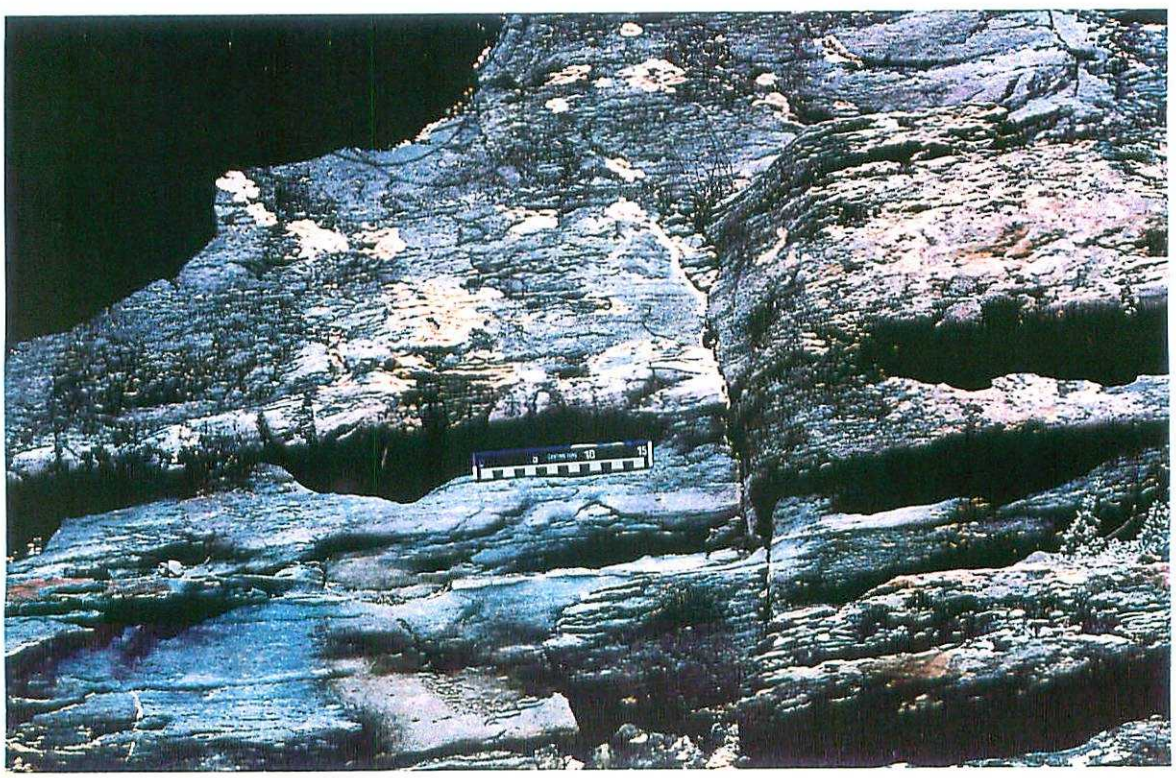


Foto 345. Estratificación "hummocky". Ctra. Alcoba-Horcajo, cruce con Arroyo Valdehornos

- SIN UBICACIÓN EN MCC1, NI EN PLANO DE SITUACIÓN DE MUESTRAS.



* Foto 346. La Raña de Navalpino. Su depósito siliclástico se apoya sobre un sustrato paleozoico alterado.*



Foto 347. Superficie aluvial de la Raña desde La Garganta. Al fondo línea de cumbres de la Sierra Cuarcítica de Arroba. Entre ambas el Río Guadiana discurre profundamente encajado



Foto 348. Los depósitos de La Raña de Umbría de los Baños (Navalpino) apoyados sobre un sustrato pizarrosos alterado



Foto 349. Aspecto general de la línea de cumbres cuarcíticas y de su piedemonte disectado en Fontanarejo



Foto 350. Afloramiento arcilloso atribuido al Neógeno originario de las alteritas de la misma edad bajo los depósitos de Raña. (Raña de encima, Fontanarejo)

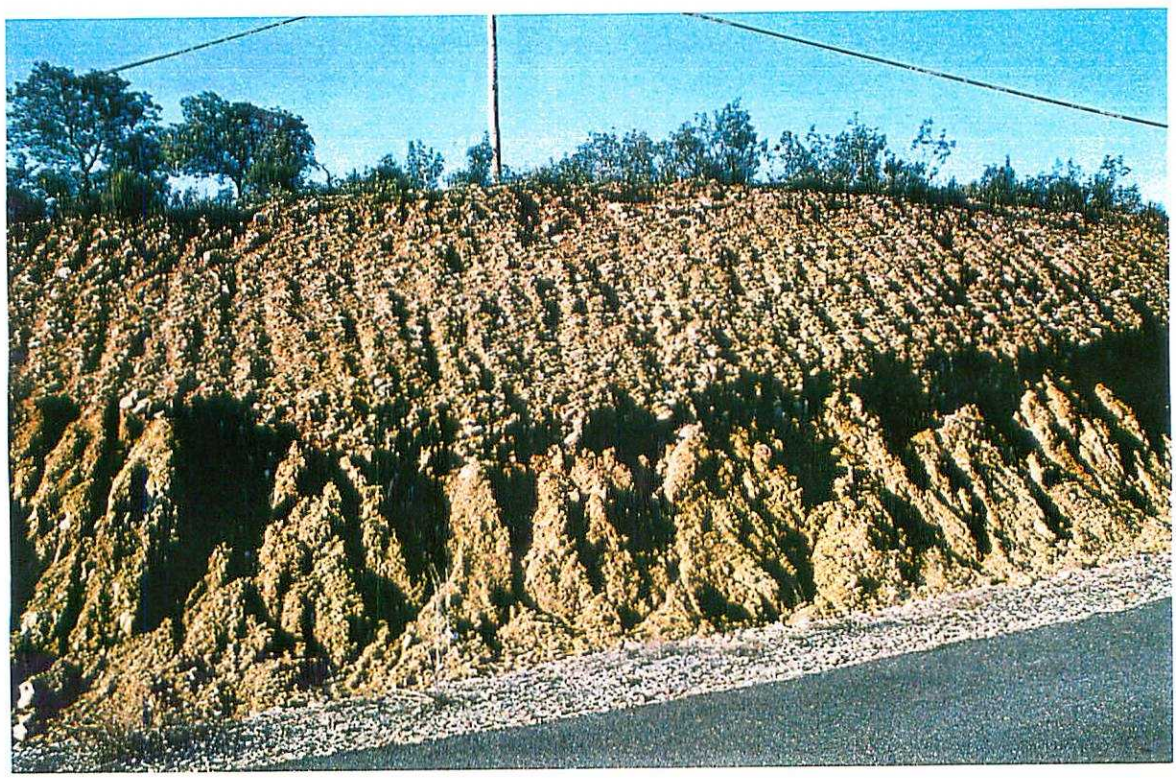


Foto 351. Depósito aluvionar de la Raña de Fontanarejo apoyada sobre un sustrato pizarroso alterado